

## Размерные эффекты в оптических спектрах микрокристаллов $\text{PbI}_2$ и $\text{HgI}_2$

© И.Х. Акопян, О.Н. Волкова, Б.В. Новиков, Б.И. Вензель\*

Научно-исследовательский институт физики при Санкт-Петербургском государственном университете,  
198904 Петродворец, Россия

\* Институт химии силикатов Российской академии наук,  
199155 Санкт-Петербург, Россия

(Поступила в Редакцию 2 августа 1996 г.)

Обнаружены и изучены квантово-размерные эффекты (коротковолновое смещение структуры и ее уширение) в низкотемпературных спектрах поглощения микрокристаллов  $\text{PbI}_2$  и  $\text{HgI}_2$  в матрицах натриево-боросиликатных пористых стекол с размером пор 2–50 nm. В приближении сильного квантования оценены размеры микрокристаллов. Показано, что размеры не зависят от диаметра пор использованных матриц, но определяются концентрацией вводимого в поры раствора. Показана эволюция спектров поглощения и люминесценции полученных систем по мере выхода вещества из пор матрицы на поверхность. Изучены динамика образования и фазовый состав кристаллов  $\text{PbI}_2$  и  $\text{HgI}_2$  на поверхности.

Как известно, пространственное ограничение носителей заряда в микрокристаллах, размеры которых сопоставимы с боровскими радиусами носителей, приводит к существенным изменениям оптических свойств [1,2]. В последние годы активно развиваются исследования квантово-размерных эффектов в оптических спектрах различных полупроводниковых соединений, в частности  $\text{PbI}_2$  [3–9] и  $\text{HgI}_2$  [6,10]. В основном это изучение спектров пропускания нанообразцов, введенных в полости цеолитов [4–6] или кластеров в растворах [3,10].

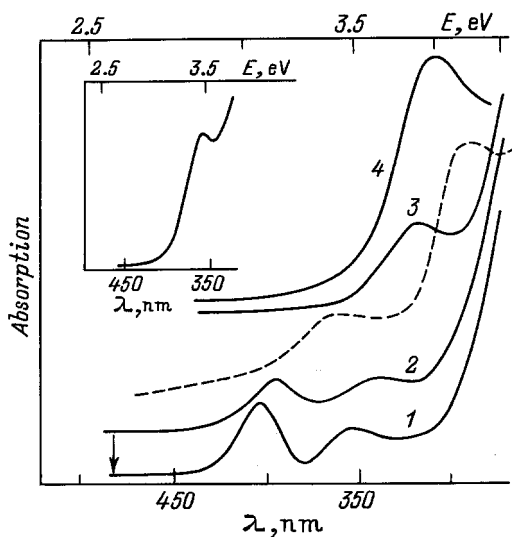
В настоящей работе исследованы низкотемпературные ( $T = 4.2, 77\text{ K}$ ) спектры поглощения и люминесценции микрокристаллов  $\text{PbI}_2$  и  $\text{HgI}_2$ , введенных в натриево-боросиликатные пористые стекла (ПС) с радиусами пор от 2 до 50 nm [11]. Использованы два способа внедрения: заполнение матриц соответствующими растворами (водным для  $\text{PbI}_2$  и раствором в ацетоне для  $\text{HgI}_2$ ) и газофазный транспорт в откаченных ампулах, содержащих ПС и соответствующую соль. Второй способ оказался неэффективным для получения микрокристаллов  $\text{HgI}_2$ . Для этого соединения в качестве матриц использовались также монокристаллы некоторых щелочно-галоидных соединений ( $\text{NaCl}, \text{KBr}$ ): было обнаружено, что в ходе реакций двуиодистой ртути с указанными кристаллами в последних образуются включения микрокристаллов  $\text{HgI}_2$ . Исследования  $\text{PbI}_2$  дополнены данными по поглощению и люминесценции микрокристаллов в  $\text{Na}-\text{X}(1.42)$ -цеолите (диаметр большой полости составляет около 1.3 nm). Основные результаты работы изложены в [12].

На рис. 1 приведены спектры поглощения при  $T = 77\text{ K}$  иодистого свинца в ПС с радиусом пор 4 nm. Кривые соответствуют различным концентрациям введенного в ПС раствора. Штриховая кривая — спектр поглощения микрокристаллов  $\text{PbI}_2$ , введенных в такие же ПС газофазным методом. На трех нижних кривых в поглощении видна структура,

состоящая из двух широких (полуширина 0.2–0.3 eV) максимумов (табл. 1), смещенных в сторону больших энергий от положения экситонных состояний в массивном  $\text{PbI}_2$ . Стрелкой на рис. 1 указано значение ширины запрещенной зоны 2H-политипа (2.57 eV) [3]. Как видно из рис. 1, с уменьшением концентрации раствора структура смещается в сторону высоких энергий. При самых малых концентрациях раствора (кривые 3,4) в спектрах наблюдается только один максимум, поскольку величина сдвига велика и высокоэнергетический максимум, очевидно, расположен вне регистрируемой спектральной области. Обнаружено, что вид спектра поглощения и положение структуры не зависят от размера пор (в диапазоне 2–10 nm), но определяются плотностью введенного раствора.

В спектрах поглощения микрокристаллов  $\text{HgI}_2$ , как и в случае  $\text{PbI}_2$ , структура наблюдалась при энергиях, много больших энергии края собственного поглощения массивных кристаллов ( $E_g = 2.36\text{ eV}$  при 77 K), а величина смещения не зависела от размера пор и определялась концентрацией использованных растворов (табл. 2). На рис. 2 показаны спектры поглощения при  $T = 77\text{ K}$  микрокристаллов  $\text{HgI}_2$  в ПС с радиусом пор 4 nm (кривые 1 и 2) и в кристалле  $\text{KBr}$  (кривая 3). Кривая 1 соответствует насыщенному при 25 °C раствору, кривая 2 — раствору, разбавленному в 5 раз.

"Голубой" сдвиг структуры поглощения естественно связать с квантово-размерными эффектами экситонов или электронно-дырочных пар в образующихся в порах стекла микрокристаллах, а увеличение с уменьшением концентрации раствора сдвига структуры в коротковолновую сторону — с уменьшением размера микрокристаллов. Интересно отметить, что кривая поглощения микрокристаллов, полученных газофазным методом (рис. 1), хорошо "вписывается" в семейство кривых для образцов, полученных растворным методом; сравнима и ширина максимумов,



**Рис. 1.** Спектры поглощения при  $T = 77\text{ K}$   $PbI_2$  в ПС с радиусом пор  $4\text{ nm}$  при различных концентрациях введенного в ПС водного раствора  $PbI_2$ . 1 — насыщенный при  $T = 80^\circ\text{C}$  раствор. Переход от 1 к 4 соответствует уменьшению концентрации раствора более чем в 10 раз. Штриховая кривая — спектр поглощения  $PbI_2$ , внедренного в ПС газофазным методом. На вставке — спектр поглощения  $PbI_2$  в  $\text{Na}-\text{X}(1.42)$ -цеолите ( $T = 77\text{ K}$ ).

что свидетельствует о том, что оба примененных способа приводят к образованию микрокристаллов тех же размеров с примерно одинаковой дисперсией по размерам.

Известно, что характер размерного квантования определяется соотношением размеров микрокристалла и боровских радиусов электрона и дырки [2,14]. Учитывая размеры пор использованных матриц, способ внедрения и плотности растворов, а также боровские радиусы экситонов в  $PbI_2$  [15] и в  $HgI_2$  [16], полагаем, что в обоих случаях применимо приближение сильного квантования, когда экситон как квазичастица не сохраняется и имеет место раздельное квантование электронных и дырочных состояний. В этом случае для сдвига порога межзонного поглощения было получено следующее выражение [14]:

$$E = \frac{\hbar^2}{2\mu} \left( \frac{\pi}{R} \right)^2 - 1.786 \frac{e^2}{\varepsilon R} - 0.248 E_{Ry}, \quad (1)$$

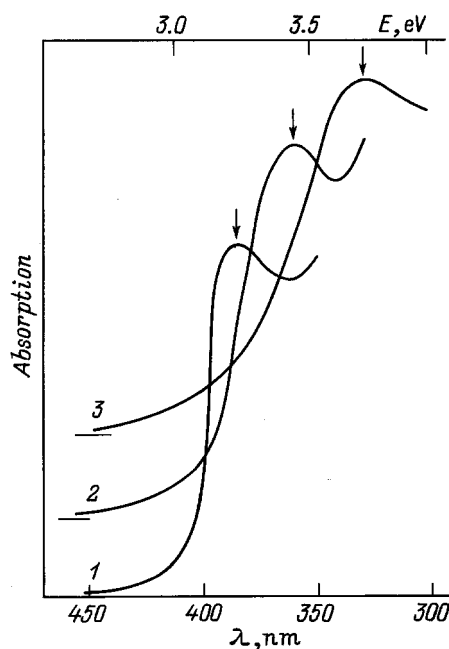
где  $\mu = m_e m_h / (m_e + m_h)$  — приведенная масса,  $R$  — радиус квантовой ямы,  $\varepsilon$  — диэлектрическая постоянная,  $E_{Ry}$  — экситонный ридберг.

Используя (1), можно по экспериментальному сдвигу структуры оценить значения  $R$ . При оценке мы пользовались следующими параметрами: для  $PbI_2$   $\varepsilon = 6$  [15],  $E_{Ry} = 127\text{ meV}$  [17]; для  $HgI_2$   $\varepsilon = 5.6$  [18],  $E_{Ry} = 30\text{ meV}$  [16]. Некоторая неопределенность возникает при выборе значений приведенной массы. В случае  $PbI_2$  результаты различных

исследований дают заметно различающиеся величины эффективных масс носителей. При использовании значения  $\mu = 0.17m_0$  [5] оценки радиусов образований в ПС для насыщенного раствора ( $\Delta E = 0.49\text{ eV}$ ) дают значение  $1.7\text{ nm}$ , для самого разбавленного (при сдвиге структуры на  $1.47\text{ eV}$ ) получаем  $1.1\text{ nm}$ . Если при оценке размеров образований пользоваться значением  $\mu = 0.32m_0$  [17], то в зависимости от плотности вводимого в ПС раствора радиус микрокристаллов меняется от  $1.1$  до  $0.7\text{ nm}$  (табл. 1). Оценки, выполненные в анизотропной модели [3], дают для радиусов образований в плоскости слоев значения от  $3.4$  до  $0.8\text{ nm}$  (при толщине  $0.7\text{ nm}$ ). Учитывая, что наблюдаемые эффекты одинаковы для ПС с размерами 2 и  $4\text{ nm}$ , полагаем более реальными оценки, полученные для изотропной модели с  $\mu = 0.32m_0$ , хотя и они представляются очень завышенными: для радиуса частиц в  $\text{Na}-\text{X}(1.42)$ -цеолите расчет по положению максимума поглощения (вставка на рис. 1) дает значение, превосходящее радиус большой полости цеолита.

В табл. 2 приведены энергии соответствующих максимумов в  $HgI_2$  и оценки размеров частиц, выполненные в приближении сильного квантования по формуле (1). Для  $HgI_2$  при  $R_{Ry} = 30\text{ meV}$  третьим членом в (1), обусловленным остатками экситонного эффекта, можно пренебречь. Для масс брались значения, определенные из измерений циклотронного резонанса [18] и дающие  $\mu = 0.2m_0$ .

Что касается природы высоконергетических максимумов поглощения на кривых 1,2 и 5 (рис. 1), то пока можно только предположить, что они связаны или с образованием более мелких включений некото-



**Рис. 2.** Спектры поглощения при  $T = 77\text{ K}$   $HgI_2$  в ПС с радиусом пор  $4\text{ nm}$  (1, 2) и в  $\text{KBr}$  (3).

**Таблица 1.** Энергетическое положение ( $E$ ) структуры в спектрах поглощения микрокристаллов  $\text{PbI}_2$ , величина смещения структуры относительно края поглощения массивных образцов ( $\Delta E$ ) и радиусы микрокристаллов ( $R$ ), полученных различными авторами.

$\text{PbI}_2$ в $\text{SiO}_2$ -пленках [7]		$\text{PbI}_2$ в ПС с $R_{\text{por}} = 4 \text{ nm}$ [8]		Интеркаляция органическими молекулами [13]		$\text{PbI}_2$ в цеолитах [4]		$\text{PbI}_2$ -кластеры в растворах [3]		$\text{PbI}_2$ , введенный в натриево-боросиликатные ПС (наст. раб.)			
$\Delta E, \text{ eV}$	$R, \text{ \AA}$	$\Delta E, \text{ eV}$	$R, \text{ \AA}$	$\Delta E, \text{ eV}$	$R_{xy}, \text{ \AA}$	$E, \text{ eV}$	$R, \text{ \AA}$	$E, \text{ eV}$	$R_{xy}, \text{ \AA}$	$E, \text{ eV}$	$\Delta E, \text{ eV}$	$R, \text{ \AA}$	
												$\mu = 0.17m_0$	$\mu = 0.032m_0$
0.01	60									3.06	0.49	16.9	11.4
0.04	45	0.06	20			3.20	—			3.14	0.57	15.9	10.9
		0.08	18	0.15–0.43	18–32	3.45	—	3.42	14.5	3.44	0.87	13.5	9.3
								3.95	9	3.88	1.31	11.3	7.9
						4.40	—			4.04	1.47	10.8	7.5
						5.40	—	4.8	6				

рых предпочтительных размеров, или с проявлением переходов между возбужденными состояниями электронов и дырок. Оценки энергии для таких переходов по [14] дают величины много выше экспериментальных.

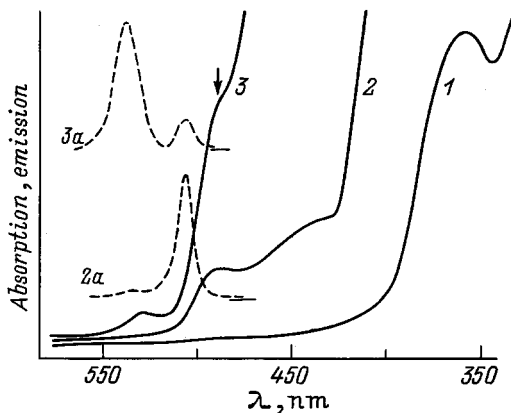
Далее нами была изучена эволюция спектров поглощения и люминесценции полученных систем при хранении образцов в атмосфере воздуха. Установлено, что спектры поглощения постепенно трансформируются в направлении структур, характерных для массивных образцов. Эффект связан с вытеснением вещества из пор матрицы на ее поверхность и обнаружен как для  $\text{PbI}_2$ , так и для  $\text{HgI}_2$ . Происходит постепенное смещение края поглощения в сторону меньших энергий. Прозрачные ранее образцы с микрокристаллами  $\text{PbI}_2$  и  $\text{HgI}_2$  приобретают слабую желтоватую окраску, возникает люминесценция. На рис. 3 показано изменение со временем спектров поглощения  $\text{HgI}_2$ -образца (кривые 1–3). Одновременно с окрашиванием и с появлением в поглощении полосы 490 nm (кривая 2) появляется люминесценция (кривая 2a), состоящая из широкой, часто структурированной, полосы с максимумом около 507 nm и слабого

излучения в области  $\sim 540 \text{ nm}$ , характерного для люминесценции массивных кристаллов  $\text{HgI}_2$  при 77 K. Длительное хранение образца приводит сначала к перераспределению интенсивностей полос (кривая 3a), а затем и к исчезновению коротковолновой полосы излучения. К этому времени в спектре поглощения наблюдается и полоса при 2.34 eV (кривая 3), связанная с экситонным поглощением в массивных образцах  $\text{HgI}_2$ . В спектрах отражения системы при этом присутствуют две структуры, резонансные наблюдаемым полосам поглощения. Следует отметить, что все наблюдаемые структуры очень размыты по сравнению с таковыми в монокристаллах. Детальное изучение сложной структуры в области коротковолновой полосы излучения в различных образцах (рис. 4) позволило предположить, что она обусловлена присутствием оранжевой модификации  $\text{HgI}_2$ .

Известно [19], что кроме красной тетрагональной и желтой орторомбической модификаций существует метастабильная оранжевая  $\text{HgI}_2$ , тоже тетрагональная, переходящая (в отсутствие деформаций медленно) в красную фазу. На рис. 4 штриховая кривая — спектр фотопроводимости кристаллов оранжевой  $\text{HgI}_2$ . Были также проведены наблюдения поверхности содержащего  $\text{HgI}_2$  пористого стекла с помощью оптического микроскопа типа МИС ( $R_{\text{por}} = 4 \text{ nm}$ ). Было обнаружено, что уже через несколько часов образец переставал быть прозрачным, по мере окрашивания множественные кристаллники размером  $\sim 5 \mu\text{m}$  становились различимыми на поверхности. Кристаллники были преимущественно оранжевого цвета, иногда (приблизительно в соотношении 1 : 9) присутствовали красные кристаллы. Через несколько дней соотношение оранжевых и красных кристаллников было уже 1 : 1 и размеры их увеличились

**Таблица 2.** Энергетическое положение ( $E$ ) структуры в спектрах поглощения микрокристаллов  $\text{HgI}_2$ , величина смещения структуры относительно края поглощения массивных образцов ( $\Delta E$ ) и оценки радиусов микрокристаллов (данные настоящей работы)

Матрица	$E, \text{ eV}$	$\Delta E, \text{ eV}$	$R, \text{ \AA}$
ПС, насыщенный раствор	3.22	0.87	12.7
разбавленный раствор	3.44	1.09	11.5
KBr, насыщенный раствор	3.76	1.41	10.3



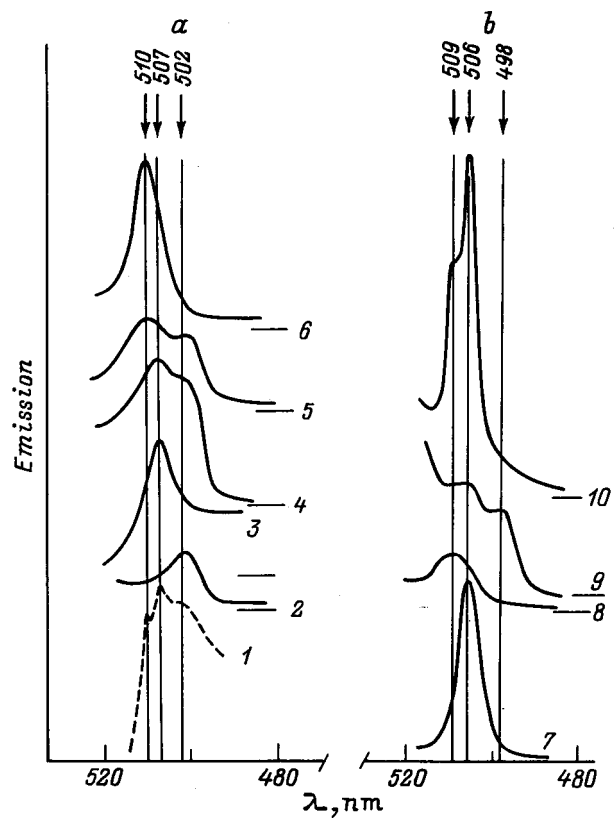
**Рис. 3.** Спектры поглощения (сплошные кривые) и люминесценции (штриховые кривые)  $HgI_2$  в ПС с радиусом пор  $4\text{ nm}$  при  $T = 77\text{ K}$ . 1 — первая запись сразу после приготовления образца, 2 и 2а — записи после 5 суток хранения на воздухе, 3 и 3а — после хранения в течение месяца.

до  $\sim 10\text{ }\mu\text{m}$ . Через несколько недель поверхность стекла была покрыта преимущественно красными кристаллами размером  $\sim 50\text{ }\mu\text{m}$ , сохранившиеся же оранжевые кристаллы имели по-прежнему размеры  $\sim 10\text{ }\mu\text{m}$ . При встрияске последние быстро переходили в красные.

Аналогичную трансформацию претерпевают и спектры  $PbI_2$  в ПС (рис. 5). После нескольких дней хранения на воздухе в поглощении появляется структура при  $475\text{ nm}$  (кривая 2), возникает люминесценция, состоящая из интенсивной полосы при  $490\text{ nm}$  и более слабого излучения в спектральной области ( $500\text{ nm}$ ) экситонной люминесценции массивных кристаллов 2Н-политипа  $PbI_2$  (кривая 2а). Со временем соотношение интенсивностей структур в спектре люминесценции меняется, как и в случае  $HgI_2$ , в пользу длинноволновой полосы (кривая 3). Как известно [20],  $PbI_2$  может существовать в разных политипах, отличающихся различной последовательностью в упаковке одного и того же базисного слоя I-Pb-I. К сожалению, экситонные спектры различных политипов изучены очень мало, однако имеющиеся сведения [14, 20] и анализ изменений спектров  $PbI_2$ -образцов во времени позволяют предположить, что, как и в случае  $HgI_2$ , коротковолновая структура в спектре люминесценции может быть отнесена к метастабильной модификации (4Н или 12R). Можно заключить, что по мере выхода вещества из пор матрицы на ее поверхности образуется тонкий слой микрокристаллов, находящихся в метастабильной модификации, которые по мере укрупнения переходят в стабильные кристаллографические фазы.

Таким образом, в работе впервые получены значительные (до  $1.5\text{ eV}$ ) смещения структуры поглощения

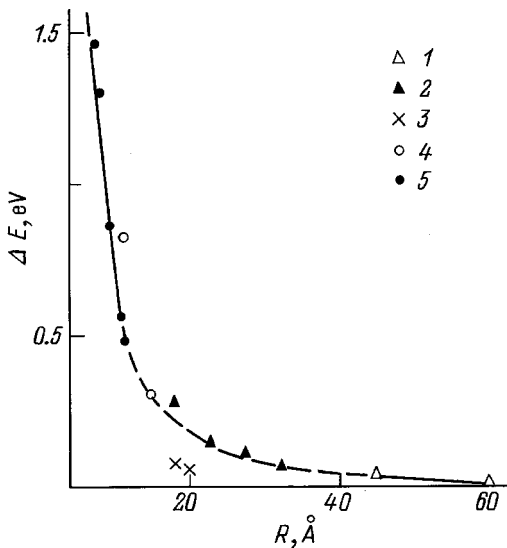
в нанокристаллах  $PbI_2$  и  $HgI_2$ , находящихся в матрицах ПС, связанные с квантово-размерными эффектами. Установлен плавный сдвиг структуры в сторону высоких энергий с уменьшением размеров микрокристаллов. При сравнении полученных нами результатов с имеющимися данными по квантово-размерным эффектам в оптических спектрах  $PbI_2$  и  $HgI_2$  прежде всего видно, что энергетические смещения структуры для  $PbI_2$  (табл. 1), заключенного в цеолиты [4–6], ПС (настоящая работа) и находящегося в коллоидной форме в растворах [3], одного порядка. То же имеет место и для  $HgI_2$  (табл. 2), заключенного в цеолиты [6] и в стеклянные и кристаллические матрицы (настоящая работа). Существенно меньший квантово-размерный эффект наблюдается в массивных кристаллах при интеркаляции их органическими молекулами (смещение края поглощения до  $0.5\text{ eV}$ ) [13] и в образцах, полученных золь–гель-техникой (до  $0.04\text{ eV}$ ) [7]. Интересный результат получается при попытке нанести данные разных авторов для микрокристаллов  $PbI_2$  на одну кривую зависимости сдвига



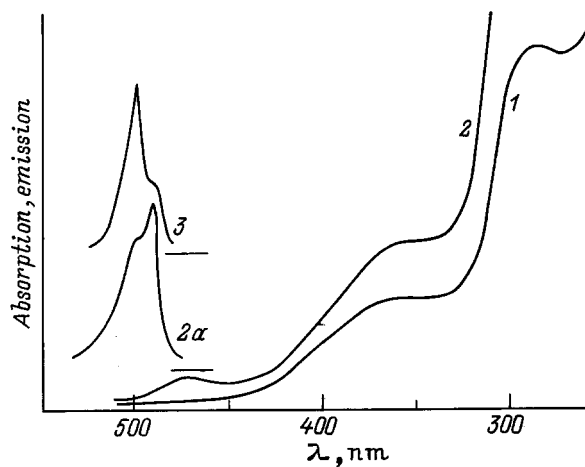
**Рис. 4.** Спектры люминесценции при  $77\text{ K}$  (a) и  $4.2\text{ K}$  (b) различных образцов  $HgI_2$  после непродолжительного хранения их на воздухе. 1 — спектр фотопроводимости оранжевой модификации  $HgI_2$ ; 2 —  $HgI_2$  в  $PbI_3$ -стекле, 3, 7 —  $HgI_2$  в ПС с радиусом пор  $4\text{ nm}$ , 4 —  $HgI_2$  в ПС с радиусом пор  $2\text{ nm}$ , 5, 9 —  $HgI_2$  в  $KBr$ , 6 —  $HgI_2$  в ПС с радиусом пор  $50\text{ nm}$ , 8, 10 —  $HgI_2$  в ПС с радиусом пор  $10\text{ nm}$ .

структурой от размеров образований (рис. 6). Как видно из рис. 6, данные для различных матриц (за исключением цеолитов) достаточно хорошо согласуются. Отметим, что в случае частиц размером более 4 нм авторы при оценке размеров микрокристаллов пользовались приближением промежуточного квантования [7]. Менее ясной представляется картина в цеолитах, в которых, с одной стороны, структура ограничивает размеры возможных образований в них значениями менее 1 нм, а с другой — наблюдаемые квантово-размерные эффекты сравнимы с таковыми в ПС. Можно предположить, что в спектрах цеолитов проявляются и более крупные частицы, образующиеся в результате вытеснения вещества на поверхность. Этот процесс, по нашим наблюдениям, происходит в цеолитах (при насыщении и  $PbI_2$ , и  $HgI_2$ ) много быстрее, чем в ПС. Отметим также, что наблюдаемое нами в ПС плавное смещение структуры при изменении концентрации вводимого в них раствора не согласуется с предложенной в [3–6] интерпретацией структуры спектров поглощения в цеолитах как поглощения в кластерах, состоящих из малого числа (от 1 до 5) молекул.

Впервые исследована устойчивость во времени нанокристаллов  $PbI_2$  и  $HgI_2$ , находящихся в ПС. Показано, что во влажной атмосфере происходит выход вещества из пор на поверхность. Характерной особенностью при этом является образование на поверхности метастабильной фазы, которая постепенно переходит в устойчивую модификацию. В связи с этим возникает вопрос о том, в какой кристаллической фазе находится вещество в ПС и цеолитах. Это особенно актуально для соединений, в которых (как в  $HgI_2$ ) оптические переходы в различных модификациях сильно отличаются по энергии. Возможность



**Рис. 6.** Зависимость сдвига структуры в оптических спектрах микрокристаллов  $PbI_2$  от размера микрокристаллов по результатам [7] (1), [13] (2), [8] (3), [3] (4) и настоящей работы (5). При использовании данных [3] и [13] за  $\Delta E$  принималась величина смещения, обусловленного размерными эффектами в плоскости слоев, получаемая из значения экспериментально наблюдаемого смещения структуры вычитанием величины сдвига (0.55 еВ в [3] и 0.15 еВ в [13]), связанного с размерным эффектом в направлении, перпендикулярном плоскости слоев.



**Рис. 5.** Спектры поглощения (1, 2) и люминесценции (2a, 3)  $PbI_2$  в ПС с радиусом пор 2 нм при 77 К. 1 — первая запись, 2 и 2a — записи после хранения образца в атмосфере воздуха в течение недели, 3 — после длительного хранения.

образования метастабильных фаз в микрокристаллах безусловно следует учитывать при интерпретации квантово-размерных эффектов в них.

В заключение авторы выражают искреннюю благодарность Е.А. Васильевой за предоставленные образцы  $PbI_2$  в цеолите и К.Ф. Лидеру за помощь в экспериментах с ними.

Работа поддержана Российским фондом фундаментальных исследований (проект 96-02-18710-а).

## Список литературы

- [1] А.И. Екимов, А.А. Онущенко. Письма в ЖЭТФ **34**, 363 (1981).
- [2] Ал.Л. Эфрос, А.Л. Эфрос. ФТП **16**, 7, 1209 (1982).
- [3] C.J. Sandroff, S.P. Kelty, D.M. Hwang. J. Chem. Phys. **85**, 5337 (1986).
- [4] Y. Nozue, Z.K. Tang, T. Goto. Solid State Commun. **73**, 531 (1990).
- [5] Z.K. Tang, Y. Nozue, T. Goto. J. Phys. Soc. Jpn. **60**, 2090 (1991).
- [6] Z.K. Tang, Y. Nozue, T. Goto. J. Phys. Soc. Jpn. **61**, 2943 (1992).
- [7] E. Lifshitz, M. Yassen, L. Bykov, I. Dag, R. Chaim. J. Phys. Chem. **98**, 1495 (1994).
- [8] В.Ф. Агекян, А.Ю. Серов. ФТТ **38**, 1, 122 (1996).

- [9] G.P. Yablonski, Yu. P. Rakovich, M.V. Artemyev. Mat. Sci. Forum **182–184**, 115 (1995).
- [10] O.I. Micic, Li Zongguan, C. Mills, C.C. Sullivan, D. Meisel. J. Phys. Chem. **91**, 6221 (1987).
- [11] Б.И. Вензель. Wiss. Z. Friedrich-Schiller-Univ. Jena. Naturwiss. **R 36**, 831 (1987).
- [12] И.Х. Акопян, Б.И. Вензель, О.Н. Волкова, Б.В. Новиков, Тез. I конф. по высокоорганизованным соединениям. СПб (1996). 379 с.
- [13] В.М. Кошкин, К.А. Катрунов. Письма в ЖЭТФ **29**, 205 (1979).
- [14] Y. Kayanuma. Phys. Rev. **B38**, 9797 (1988).
- [15] Le Chi Thanh, C. Depeursinge, F. Levy, E. Mooser. J. Phys. Chem. Sol. **36**, 699 (1975).
- [16] Б.В. Новиков, М.М. Пимоненко. ФТП **4**, 11, 2077 (1970).
- [17] S. Elkomoss, J. Biellmann. Phys. Rev. **B29**, 4697 (1984).
- [18] P.D. Bloch, J.W. Hodby, C. Schwab, D.W. Stacey. J. Phys. **C 11**, 2579 (1978).
- [19] В.С. Горский. ЖЭТФ **5**, 155 (1935).
- [20] W.M. Sears, M.L. Klein, J.A. Morrison. Phys. Rev. **B19**, 2305 (1979).